

京都大学大学院 学生員 白細智幸  
 京都大学工学部 正員 岩佐義朗  
 広島大学工学部 正員 細田 尚

1. 序論；本研究は、まず、一様乱流場での  $k-\varepsilon$  モデルの基本的特性を述べ、その後、 $k-\varepsilon$  モデルの適用例として、Surface Jet を取り上げ、数値解析結果を検討する。

2. 一様乱流場での  $k-\varepsilon$  モデルの特性；一様乱流場では、 $k-\varepsilon$  モデルは

$$\frac{dk}{dt} = -\varepsilon, \quad \frac{d\varepsilon}{dt} = -C_{\varepsilon_2} \frac{\varepsilon^2}{k} \quad (1)$$

と表わされる。この解は、初期条件  $t=t_a$  で  $k=k_a$ ,  $\varepsilon=\varepsilon_a$  を用いて

$$k = k_a \left( \frac{t}{t_a} \right)^{-\frac{1}{C_{\varepsilon_2}+1}}, \quad \varepsilon = \varepsilon_a \left( \frac{t}{t_a} \right)^{-\frac{C_{\varepsilon_2}}{C_{\varepsilon_2}+1}} \quad (2)$$

である。これより  $C_{\varepsilon_2} > 1$  が必要である。一方、Kármán-Howarth 方程式に、Kolmogoroff と Kármán の相似仮説を適用すれば、

$$k = k_a \left( \frac{t}{t_a} \right)^{-2 \frac{\sigma+1}{\sigma+3}}, \quad \varepsilon = \varepsilon_a \left( \frac{t}{t_a} \right)^{-\frac{2\sigma+5}{\sigma+3}} \quad (3)$$

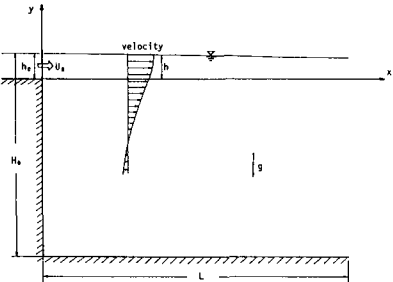


Fig. 1 対象領域と座標系

が得られる。<sup>1)</sup> ここに、 $\sigma$  は不变量  $\Lambda = \overline{U^2} \int_0^\infty r^5 f(r) dr$  のパラメータ。 $(f$ ：二重速度継続関数,  $\overline{U^2} = \frac{2}{3} k$ )

(2), (3)式のべきの比較より  $C_{\varepsilon_2} = (3\sigma+5)/(2\sigma+2)$  となる。Loitsiansky, Birkhoff の積分の不变を要請するとき、それそれ  $\sigma = 4, 2$  であり、それに対応して  $\sigma = 4 \rightarrow C_{\varepsilon_2} = 1.7$ ,  $\sigma = 2 \rightarrow C_{\varepsilon_2} = 1.83$  となる。本研究では Rodi<sup>2)</sup> に従い、1.92 を用いた。

3. Surface Jet への適用例；対象とする領域と座標系を Fig. 1 に示した。境界条件としては、出口の流量  $Q_0$  を一定とし、出口で水位のこう配が  $dh/dx = 0$  とする。また、下流端は水位を一定とし、流速、乱れエネルギー、エネルギー散逸率のこう配を  $\partial U/\partial x$ ,  $\partial k/\partial x$ ,  $\partial \varepsilon/\partial x = 0$  とした。

次のような無次元量を導入する。

$$U' = \frac{U}{U_0}, \quad V' = \frac{V}{U_0}, \quad k' = \frac{k}{k_0}, \quad \varepsilon' = \frac{\varepsilon}{\varepsilon_0}, \quad p' = \frac{p}{\rho g h_0}, \quad x' = \frac{x}{h_0}, \quad y' = \frac{y}{h_0}, \quad t' = \frac{t}{t_a}$$

ここに、 $U_0, h_0$ ：初期の放出口での流速と水位,  $k_0, \varepsilon_0$ ：放出口での乱れエネルギー、エネルギー散逸率。

上記の無次元量を用いて基礎式を無次元化すると次のようになる。(以後、無次元量の、とある。)

$$\frac{\partial U}{\partial x} + \frac{\partial V}{\partial y} = 0 \quad (4) \quad p = \frac{(h-y)}{h_0} \quad (5)$$

$$\frac{\partial U}{\partial t} + U \frac{\partial U}{\partial x} + V \frac{\partial U}{\partial y} = -\frac{1}{Fr_o^2} \frac{\partial p}{\partial x} + \frac{\beta^2}{\alpha} \left[ \frac{\partial}{\partial x} \left( D \frac{\partial U}{\partial x} \right) + \frac{\partial}{\partial y} \left( D \frac{\partial U}{\partial y} \right) \right] \quad D = g_u \frac{k^2}{\varepsilon} \quad (6)$$

$$\frac{\partial k}{\partial t} + U \frac{\partial k}{\partial x} + V \frac{\partial k}{\partial y} = \frac{\beta}{\alpha} D \left( \frac{\partial U}{\partial y} \right)^2 - \frac{\alpha}{\beta} \varepsilon + \frac{\beta^2}{\alpha} \left[ \frac{\partial}{\partial x} \left( D \frac{\partial k}{\partial x} \right) + \frac{\partial}{\partial y} \left( D \frac{\partial k}{\partial y} \right) \right] \quad (7)$$

$$\frac{\partial \varepsilon}{\partial t} + U \frac{\partial \varepsilon}{\partial x} + V \frac{\partial \varepsilon}{\partial y} = \frac{\beta}{\alpha} C_{\varepsilon_1} \frac{\varepsilon}{K} D \left( \frac{\partial U}{\partial y} \right)^2 - \frac{\alpha}{\beta} C_{\varepsilon_2} \frac{\varepsilon^2}{k} + \frac{\beta^2}{\alpha} \left[ \frac{\partial}{\partial x} \left( D \frac{\partial \varepsilon}{\partial x} \right) + \frac{\partial}{\partial y} \left( D \frac{\partial \varepsilon}{\partial y} \right) \right] \quad (8)$$

ここに、 $\alpha, \beta, Fr_o$  は次のように定義される

$$\alpha = \frac{\varepsilon_0 h_0}{U_0^3}, \quad \beta = \frac{k_0}{U_0^2}, \quad Fr_o = \frac{U_0}{\sqrt{g h_0}}$$

解析法は岩佐・松尾・俞<sup>3)</sup>が貯水池の解析に用いた explicit 法を用いた。ただし、水位の計算には、Peregrine<sup>4)</sup>が Undular Bore の数値解析に用いたものと類似の次のような方法を用いた。(Fig. 2 参照)

$$\frac{h_{i+\frac{1}{2}}^{n+1} - h_{i-\frac{1}{2}}^n}{\Delta t} + \frac{h_{i+\frac{1}{2}}^{n+1} - h_{i-\frac{1}{2}}^n}{2 \Delta x} \cdot \frac{U_{s,i+1}^n - U_{s,i}^n}{\Delta x} + U_{s,i} \frac{h_{i+\frac{1}{2}}^{n+1} - h_{i-\frac{1}{2}}^n}{2 \Delta x} = V_{s,i+\frac{1}{2}}^n \quad (9.a)$$

によって  $h_{i+\frac{1}{2}}^*$  を求め、 $h_{i+\frac{1}{2}}^*$  を用いて  $(n+1)$  step の流速を求める。これを用いて  $(n+\frac{1}{2})$  step の水位  $h_{i+\frac{1}{2}}^{n+\frac{1}{2}}$  を次式で求めた。

$$\frac{h_{i+\frac{1}{2}}^{n+\frac{1}{2}} - h_{i-\frac{1}{2}}^n}{\Delta t} + h_{i+\frac{1}{2}}^{n+\frac{1}{2}} \frac{U_{s,i+1}^{n+1} - U_{s,i}^{n+1} + U_{s,i+1}^n - U_{s,i}^n}{2 \Delta x} + \frac{U_{s,i+1}^{n+1} + U_{s,i+1}^n + U_{s,i+1}^n + U_{s,i}^n}{4} \cdot \frac{h_{i+\frac{1}{2}}^{n+\frac{1}{2}} - h_{i-\frac{1}{2}}^n}{2 \Delta x} = \frac{V_{s,i+\frac{1}{2}}^{n+1} + V_{s,i+\frac{1}{2}}^n}{2} \quad (9.b)$$

$\Delta X = 3$ ,  $\Delta Y = 0.5$  とし、定数の値は  $C_0 = 0.09$ ,  $C_E = 1.44$ ,  $C_D = 1/92$ ,  $C_K = 1.3$ ,  $C_E = 1.0$  とした。流れが定常となるまで時間発展を行った。数値解析の水理諸量を Table 1 に示した。

Run 1 を例にとって流れの定常化過程を示したのが Fig. 3 であり、表層流速の時間変化を示してある。時間が十分経過しても若干の振動がみられるが、ほぼ定常状態とみなすことができよう。

次に、領域の大きさの違いによる流れの違いを検討するために、Run 1, 2 の定常状態での表層流速の減衰を示したのが Fig. 4 である。両者は、放出口付近では一致しているが、 $x$  が増加するにつれて水深の小さい Run 1 の方は大きく減衰するようになる。

領域の大きさを同一にして、 $\alpha$ ,  $\beta$  の値を変化させたのが Run 2~4 であり、そのときの表層流速の減衰を Fig. 5 に示した。図には、実験式<sup>5)</sup>

$$\frac{U}{U_0} = 2.41 \left( \frac{x}{2h_0} \right)^{-1/2} \quad (10)$$

も示してあり、計算値は、 $x$  の増加とともに実験値に漸近していく。

Fig. 6, Fig. 7 には、表層の  $k$ ,  $\varepsilon$  の減衰を示した。これみると、出口付近では  $k$ ,  $\varepsilon$  ともに増加し、 $x$  が大きくなるとともに著者らが示したべきで減少していくのがわかる。流速,  $k$ ,  $\varepsilon$  の鉛直分布形については講演時に示す。

参考文献 1) Rotta; 大路通雄訳 亂流 岩波, 2) Kollmann; Prediction Method for Turbulent Flow, 3) 岩佐・松尾・俞; 京大防災年報 22B-2, 4) Peregrine, J.F.M. Vol.25.

5) Fisher et al.; Mixing in Inland and Coastal Waters, 6) 岩佐・細田・松井; 土木学会

第38回年次講演会概要集

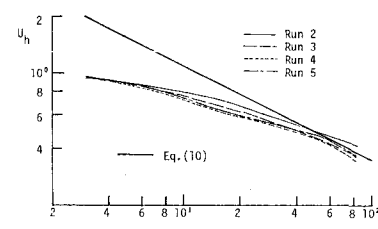


Fig. 5 表層流速の減衰

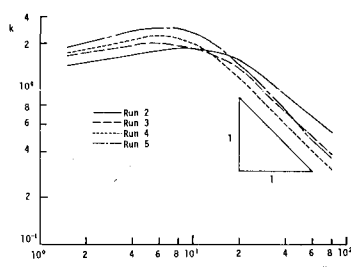


Fig. 6 表層の  $k$  の減衰

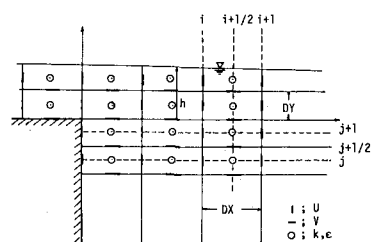


Fig. 2 水理量の定義位置

Fr <sub>0</sub>	$\alpha$	$\beta$	$H_0/h_0$	L/h <sub>0</sub>	
Run 1	0.391	$1.33 \times 10^{-3}$	0.015	15	84
Run 2	0.391	$1.33 \times 10^{-3}$	0.015	30	84
Run 3	0.391	$1.33 \times 10^{-3}$	0.020	30	84
Run 4	0.391	$1.33 \times 10^{-3}$	0.025	30	84
Run 5	0.391	$6.65 \times 10^{-4}$	0.020	30	84

Table 1 水理諸量

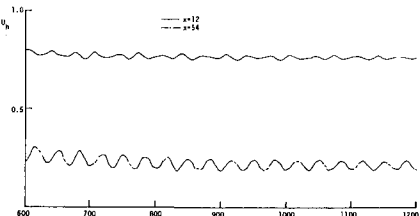


Fig. 3 定常化過程 (Run 1)

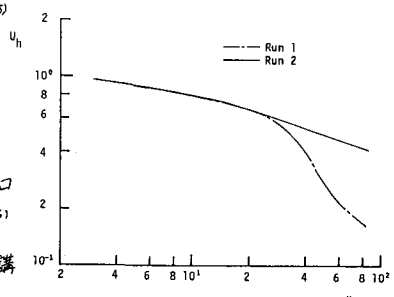


Fig. 4 表層流速の減衰

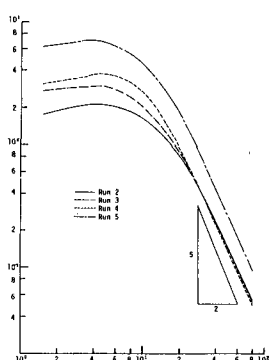


Fig. 7 表層の  $\varepsilon$  の減衰